

©1993

# ОПТИЧЕСКИЕ СВОЙСТВА ЛЕГИРОВАННЫХ КВАДРАТИЧНЫХ КВАНТОВЫХ ЯМ В ПОСТОЯННОМ ЭЛЕКТРИЧЕСКОМ ПОЛЕ

*Э.П. Синявский, Е.Ю. Канаровский*

В модели потенциала нулевого радиуса исследуется влияние постоянного электрического поля на энергию связи и оптические свойства локализованных электронов в квадратичных квантовых ямах (КЯ). Указано на немонотонное поведение энергии связи и коэффициента примесного поглощения света от положения примеси, толщины КЯ, величины и направления напряженности электрического поля. Показано, что уменьшение толщины КЯ оказывает на систему стабилизирующее действие (вероятность распада примесного состояния уменьшается).

Современная технология позволяет получать высококачественные размерно-ограниченные полупроводниковые системы различной толщины с примесными центрами, внедренными на определенном расстоянии от границ исследуемой квантовой системы. Именно это обстоятельство стимулирует в настоящее время дальнейшее исследование кинетических явлений, например, в легированных квантовых ямах (КЯ).

Впервые влияние размеров КЯ на энергию связи мелких донорных центров исследовалось Бастардом [1]. В этой работе с использованием вариационных методов расчета для КЯ с потенциалом ширины  $a$  с бесконечно-высокими стенками было показано, что с уменьшением  $a$  энергия связи (по абсолютной величине) увеличивается. Дальнейшие теоретические исследования были направлены на улучшение используемой в [1] модели. В [2] учитывались непарараболичность зоны проводимости и конечность высоты барьера КЯ, в [3] вычислялся энергетический спектр мелких доноров и акцепторов с учетом пространственной зависимости диэлектрической проницаемости и положения примеси в КЯ. В [4,5] показано, что различие эффективных масс и диэлектрических постоянных GaAs и  $Ga_{1-x}Al_xAs$  приводит к увеличению энергии связи мелких донорных состояний.

Внешнее электрическое поле заметным образом влияет на энергию связанных состояний, на спектры примесного поглощения [6] и фотолюминесценцию [7] в КЯ. Теоретические расчеты зависимости энергии связи водородоподобных примесей в КЯ от напряженности электрического поля  $F$ , направленного перпендикулярно поверхности размерно-ограниченной системы, с привлечением вариационных методов проводились в [7–11]. Исследования оптических свойств КЯ в продольном электрическом поле показали, что с ростом  $F$  коэффициент межзонного поглощения света (переходы между зоной тяжелых дырок и нижайшим уров-

нем пространственного квантования зоны проводимости) уменьшается и его максимум смещается в длинноволновую область [12], край фундаментального поглощения сдвигается пропорционально квадрату ширины КЯ, штарковский сдвиг не зависит от массы частицы [13]. Оптические свойства КЯ, связанные с переходами электронов между уровнями пространственного квантования в зоне проводимости в продольном электрическом поле, изучались в [14, 15].

При исследовании кинетических явлений в размерно-ограниченных системах широко используется модель, в которой потенциал  $U(z)$  вдоль оси, перпендикулярной поверхности квантовой системы, описывается прямоугольной ямой с бесконечно высокими (или конечной высоты) стенками. Такая модель успешно применялась при исследовании связанных состояний электрона и оптического фона [16], многофононного резонансного комбинационного рассеяния света [17], поглощения света свободными носителями [18].

Однако в последние годы все чаще применяется модель, в которой потенциал КЯ аппроксимируется параболой. Современная технология с применением компьютерного контроля за затворами молекулярных пучков позволяет получить различный профиль потенциала КЯ. В частности, Госсардом [19] получена искусственная параболическая потенциальная яма в тонкопленочной структуре  $\text{GaAs}/\text{Ga}_{1-x}\text{Al}_x\text{As}$ . В этом случае появление размерно-квантованных уровней происходит в достаточно широких КЯ, больших  $1000\text{\AA}$ . В этой модели исследовались явления переноса в квазидвумерном электронном газе в постоянном магнитном поле [20], оптические свойства КЯ в постоянном электрическом поле [12, 13]. Экспериментальные исследования фотolumинесценции в  $\text{GaAs}/\text{Ga}_{1-x}\text{Al}_x\text{As}$  [21] (ширина КЯ  $4640\text{\AA}$ ) показали, что положение пиков и величина интенсивности находятся в хорошем согласии с расчетами для квадратичных (осцилляторных) КЯ [22].

В настоящей работе исследуется энергия связи примесных состояний методом потенциала нулевого радиуса в параболических КЯ во внешнем электрическом поле. Используемая модель позволяет не только вычислить сдвиг уровня как функцию толщины КЯ, положения примеси, напряженности поля, но и выяснить особенности примесного поглощения света и исследовать процессы ионизации локализованного электрона в постоянном электрическом поле.

## 1. Энергия связанного состояния в постоянном электрическом поле

Если вектор напряженности электрического поля  $\mathbf{F}$  направлен перпендикулярно поверхности КЯ, то потенциальная энергия электрона записывается в виде

$$U(z) = a_c z^2 - eFz. \quad (1)$$

При  $\mathbf{F} = 0$   $U(z)$  представляет собой несмещенную параболу (кривая 1 на рис. 1). Если  $E_c$  — высота КЯ, то  $a_c = \frac{4E_c}{\alpha^2}$ . При  $\mathbf{F} \neq 0$  минимум параболы находится в точке  $d = \frac{eF}{2A_c}$  и смещен в сторону меньших энергий на величину  $\Delta = -\frac{e^2 F^2}{4a_c}$  (кривая 2). Заметим, что смещение минимума потенциала КЯ в электрическом поле при разумных значениях параметров ис-

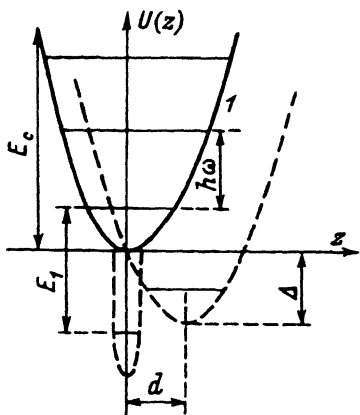


Рис. 1. Параболический потенциал для зоны проводимости тонкопленочной структуры (1) и потенциал примесного центра ( $E_1$  — энергия связанных состояний).

Штриховой линией приведен потенциал квантовой ямы в постоянном электрическом поле.  $d = eF/2a_c$ ,  $\Delta = -e^2 F^2 / 4a_c$ .

следуемой системы может достигать нескольких десятков ангстрем. Например, при  $a = 4000 \text{ \AA}$ ,  $F = 10^3 \text{ В/см}$  ( $E_c = 0.255 \text{ эВ}$ ) находим, что  $d = 80 \text{ \AA}$ .

Собственные функции и собственные значения уравнения Шредингера с потенциальной энергией (1) имеют вид

$$\begin{aligned} \psi_{n\mathbf{k}_\perp}(\mathbf{r}) &= \frac{1}{\sqrt{L_x L_y}} \left( \frac{\lambda}{\pi} \right)^{1/4} \frac{e^{i(\mathbf{k}_\perp \rho)}}{(2^n n!)^{1/2}} e^{-\frac{\lambda}{2}(z-d)^2} H_n(\sqrt{\lambda}(z-d)), \\ E_{n\mathbf{k}_\perp} &= \frac{\hbar^2 k_\perp^2}{2m} + \hbar\omega(n + 1/2) + \Delta, \\ \lambda &= \left( \frac{2ma_c}{\hbar^2} \right)^{1/2}, \quad \hbar\omega = \frac{\hbar^2 \lambda}{m}, \quad (\mathbf{k}_\perp \rho) = k_x x + k_y y, \end{aligned} \quad (2)$$

$\hbar\mathbf{k}_\perp$  — вектор квазимпульса электрона в плоскости КЯ;  $H_n(z)$  — полиномы Эрмита;  $L_x$ ,  $L_y$  — длины образца соответственно в направлениях  $OX$ ,  $OY$ .

В дальнейшем рассматриваем КЯ с высокими потенциальными барьерами и такой толщины  $a$ , при которой выполняется неравенство  $(2E_c/\hbar\omega)^{1/2} \gg 1$ . Для КЯ типа GaAs/Ga<sub>1-x</sub>Al<sub>x</sub>As ( $E_c = 0.255 \text{ эВ}$ ,  $m = 0.06m_0$ ) последнее неравенство выполняется при  $a > 2800 \text{ \AA}$ .

Как известно, если примесь расположена в точке с координатами  $\mathbf{r}'$  ( $0, 0, z_0$ ), то функция Грина записывается как

$$G(\mathbf{r}; \mathbf{r}'; E) = \sum_{n, \mathbf{k}_\perp} \frac{\psi_{n\mathbf{k}_\perp}(\mathbf{r}) \psi_{n\mathbf{k}_\perp}^*(\mathbf{r}')}{E - E_{n\mathbf{k}_\perp}}, \quad (3)$$

$E$  — энергия связанных состояний (ЭСС), которая определяется, согласно общей теории потенциала нулевого радиуса [23], из уравнения

$$1 - V_0 \tilde{G}(z_0; z_0; E) = 0, \quad (4)$$

$$\tilde{G}(z_0; z_0; E) = \left[ 1 + x \frac{\partial}{\partial x} + y \frac{\partial}{\partial y} + (z - z_0) \frac{\partial}{\partial z} \right] G(\mathbf{r}; z_0; E) \Big|_{\substack{x=y=0 \\ z=z_0}},$$

$V_0$  определяет мощность потенциальной ямы, которая связана с феноменологическим параметром  $E_0$  — глубиной залегания уровня.

С учетом (2) искомая функция Грина (3) определяется выражением

$$G(\mathbf{r}; z_0; E) = \left( \frac{\lambda}{\pi} \right)^{1/2} \frac{1}{L_x L_y} \times \\ \times \sum_{n, \mathbf{k}_\perp} \frac{e^{i(\mathbf{k}_\perp \rho)} e^{-\frac{\lambda}{2}(z_0 - d)^2} e^{-\frac{\lambda}{2}(z - d)^2} H_n(\sqrt{\lambda}(z_0 - d)) H_n(\sqrt{\lambda}(z - d))}{2^n n! (E - \frac{\hbar^2 k_\perp^2}{2m} - \hbar\omega(n + 1/2) - \Delta)}. \quad (5)$$

Если  $|\Delta| < |E_1|$  ( $E_1 = E - \hbar\omega/2$ ), то электрическое поле изменяет только величину энергии связанного состояния в КЯ  $E_1$ , так как туннелирование оказывается невозможным. Для  $|\Delta| > |E_1|$ , когда связанное состояние находится в области непрерывного спектра, энергия примесного состояния при  $\mathbf{F} \neq 0$  не только изменяется, но и имеет ширину, связанную с процессами ионизации. Если  $|\Delta| < |E_1|$ , то знаменатель в (5) не обращается в нуль ( $E_1 < 0$ ) ни при каких значениях квантовых чисел  $n, K_\perp$ . В этом случае расчет функции Грина проводится так же, как и в работе [24], в которой исследовались связанные состояния потенциала нулевого радиуса в квантующем магнитном поле. В результате

$$G(\mathbf{r}; z_0; E) = \frac{-1}{2\pi} \left( \frac{\lambda}{\pi} \right)^{1/2} - \frac{m}{\hbar^2} \int_0^\infty \frac{e^{\epsilon\tau} e^{-\frac{\epsilon^2 \lambda}{2\tau}}}{(1 - e^{-2\tau})^{1/2}} \exp \left\{ \frac{\eta\xi}{\operatorname{sh}\tau} - \frac{(\xi^2 + \eta^2)}{2} \operatorname{cth}\tau \right\} \frac{d\tau}{\tau}, \\ \xi = \sqrt{\lambda}(z_0 - d), \quad \eta = \sqrt{\lambda}(z - d), \\ \epsilon = \frac{1}{\hbar\omega} \left( E - \Delta - \frac{\hbar\omega}{2} \right), \quad (6)$$

$G(\mathbf{r}; z_0; E)$  при  $\rho \rightarrow 0, z \rightarrow z_0$  имеет особенность (подынтегральное выражение расходится при  $\tau \rightarrow 0$ ), которая может быть выделена с использованием методики, развитой в [23]. Определив таким образом  $\tilde{G}(z_0, z_0, E)$  уравнение (4) для ЭСС принимает вид

$$-\int_0^\infty \frac{e^{\epsilon\tau^2}}{\tau} \left\{ \frac{e^{\tau^2/2} \exp(-\lambda(z_0 - d)^2 \operatorname{th} \frac{\tau^2}{2})}{\sqrt{\operatorname{sh} \tau^2}} - \frac{1}{\tau} \right\} d\tau = \sqrt{\pi} B - (-\pi\epsilon)^{1/2}, \quad (7)$$

$$B^2 = \frac{a}{4a_0} \left( \frac{E_0}{E_c} \right)^{1/2}, \quad E_0 = \frac{\hbar^2}{2ma_0^2},$$

$E_0$  — ЭСС в отсутствие электрического поля для объемного образца, которая получается из (7) при  $a \rightarrow \infty$  ( $\hbar\omega \rightarrow 0$ ),  $\mathbf{F} \rightarrow 0$ . Если  $\mathbf{F} = 0$ , то из (7) можно получить значения энергии связанного состояния в параболической КЯ.

На рис. 2 приведена зависимость ЭСС  $E_1$  (в относительных единицах) от  $B$  ( $\mathbf{F} = 0$ ) при различных положениях примеси  $\xi_0 = z_0/a_0$ . Кривая 1

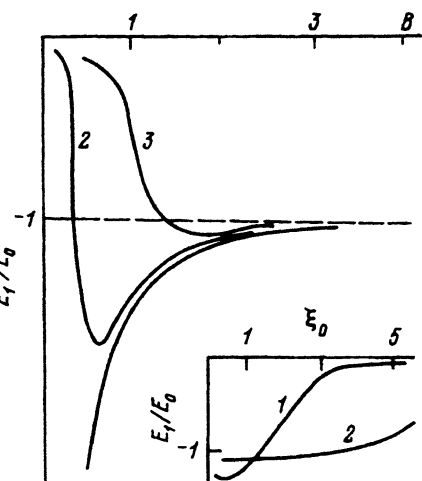


Рис. 2. Зависимость энергии связанных состояний (в относительных единицах) от  $B \cdot B^2 = (a/4a_0) (E_0/E_c)^{1/2}$ .

1 —  $\xi_0 = z_0/a_0 = 0$  (примесь расположена в центре КЯ),  
2 — 0.5,  
3 — 2.

На вставке — зависимость энергии связанных состояний от расположения примеси.  $B = 1$  (1), 2 (2).

получена для  $\xi_0 = 0$  (примесь находится в центре КЯ), кривые 2,3 получены для  $\xi_0 = 0.5$  и  $\xi_0 = 2$  соответственно. Если примесные центры локализованы в центре КЯ, то при  $B < 1$  величина ЭСС  $E_1$  в КЯ (по абсолютной величине) может стать больше, чем ЭСС в объемном образце  $E_0$ . Например, для  $D^-$ -центров в КЯ, которые хорошо описываются моделью потенциала нулевого радиуса ( $E_0 = 0.29$  мэВ [25]), при  $t = 0.067t_0$ ,  $E_c = 0.255$  эВ,  $a = 4000\text{\AA}$  ( $B = 0.3$ ) получаем, что  $E_1 = 4.5E_0$ . Как следует из рис. 2, при удалении примеси от центра КЯ ЭСС уменьшается. Аналогичная картина наблюдается и в прямоугольных потенциальных КЯ [1].

Если  $a_0 < 0$ , то в объемном образце связанные состояния в короткодействующем потенциале отсутствуют [23]. При конечных толщинах одиночной КЯ уравнение (7) (при  $F = 0$ ) допускает решение для  $a_0 < 0$ . Следовательно, в размерно-ограниченных системах возникают размерно-индукционные связанные состояния (РИСС), которые могут влиять на кинетические свойства квантовых систем. Для прямоугольных КЯ появление таких состояний обсуждалось в [26], а их оптические свойства исследовались в [27].

На рис. 3 приведена зависимость энергии РИСС (в относительных единицах) от  $B$ . Кривые 1, 2 получены соответственно при  $\xi_0 = 0$  и  $\xi_0 = 0.15$ .

Если  $\varepsilon \gg 1$ , в подынтегральном выражении уравнения (7) можно разложить  $\operatorname{sh} \tau$ ,  $\operatorname{cth} \tau$  в ряд по  $\tau$ . В результате решение (7) для ЭСС, отсчитанной от дна зоны проводимости КЯ в постоянном электрическом поле, имеет вид

$$E_F = -E_0 - \frac{\hbar\omega}{2} + \frac{(\hbar\omega)^2}{24E_0} + \frac{m\omega^2}{2}(z_0 - d)^2 \left( 1 - \left( \frac{\hbar\omega}{4E_0} \right)^2 \right), \quad (8)$$

$$E_F = E - \Delta - \frac{\hbar\omega}{2}.$$

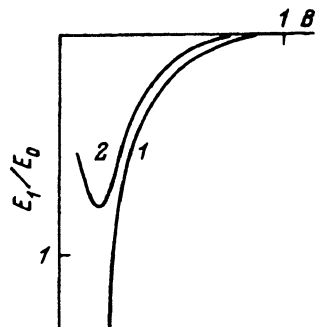


Рис. 3. Поведение энергии размерно-индукционных связанных состояний (в относительных единицах) от  $B$ .

1 —  $\xi_0 = 0$ ,  
2 —  $0.15$ .

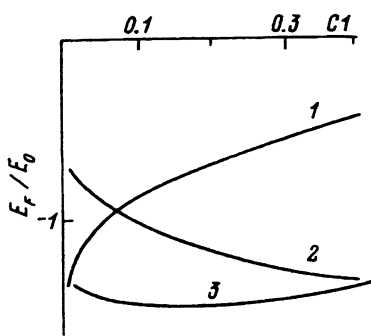


Рис. 4. Зависимость энергии связанного состояния (в относительных единицах) от напряженности постоянного электрического поля  $C1 = (eFa_0/E_0)^2$ .

Если  $\left(\frac{\hbar\omega}{4E_0}\right)^2 \ll 1$ , то последнее слагаемое в (8), не зависящее от  $E_0$ , описывает изменение, связанное со сдвигом (на величину  $d$ ) и смещением в область низких энергий (на величину  $\Delta$ ) минимума потенциала КЯ в постоянном электрическом поле (рис. 1). Из (8) непосредственно следует, что если электрическое поле направлено так, что с увеличением  $F$  минимум потенциальной энергии удаляется от примеси (в этом случае  $(z_0 - d)^2$  увеличивается), то  $E_F$  уменьшается с ростом напряженности поля  $F$ . При противоположном направлении  $F$ , когда  $(z_0 - d)^2$  уменьшается, должно наблюдаться увеличение  $E_F$  с ростом  $F$  до значения  $F = z_0 m\omega^2/e$  (минимум потенциальной энергии находится в точке расположения примеси), в дальнейшем происходит уменьшение  $E_F$ .

На рис. 4 приведена зависимость ЭСС (в относительных единицах) от напряженности приложенного постоянного электрического поля, вычисленная непосредственно из уравнения (7). Как следует из рис. 4, зависимость  $E_F/E_0$  от  $F$  находится в полном соответствии с приведенными выше качественными рассуждениями. Кривая 1 получена для  $\xi_0 = 1$  (при этом с ростом  $F$  минимум потенциальной энергии удаляется от точки расположения примеси), а кривые 2, 3 получены для  $\xi_0 = 1$ ,  $\xi_0 = 0.7$  соответственно (в этих случаях с ростом  $F$  минимум потенциальной энергии приближается к точке  $z_0$  расположения примеси).

При  $|\Delta| > |E_1|$  электрическое поле вызывает распад системы, поскольку уровень связанного состояния находится на фоне непрерывного спектра. Расчет функции Грина в этом случае проводится аналогично работе [28], в которой рассматривалась задача о связанных состояниях электрона в скрещенных электрическом и магнитном полях методом потенциала нулевого радиуса. Уравнение для энергии связанного состояния принимает вид

$$-\frac{1}{\sqrt{i}} \int_0^\infty e^{\varphi(\tau)} \{F'(\tau) + F(\tau)\varphi'(\tau)\} \frac{d\tau}{\sqrt{\tau}} = \sqrt{\pi} B, \quad (9)$$

$$F(\tau) = \left( \frac{\tau}{\sin \tau} \right)^{1/2},$$

$$\varphi(\tau) = i\tau(\varepsilon + 1/2) - i\xi^2 \operatorname{tg} \frac{\tau}{2}.$$

Если  $2\varepsilon/\xi^2 \ll 1$  ( $\varepsilon \gg 1$ ), то функции в квадратных скобках можно разложить в ряд по  $\tau$  и ограничиться для  $\operatorname{tg}(\tau/2)$  членами  $(\tau/2)^3$ . В этом случае возникают интегралы типа

$$J_0 = \int_0^\infty e^{-i\delta x - i\frac{x^3}{3}} \frac{dx}{\sqrt{x}} = \frac{\pi\sqrt{2\pi}}{2^{1/3}} \left\{ (1-i)\operatorname{Ai}(z_1)\operatorname{Bi}(z_1) + (1+i)\operatorname{Ai}^2(z_1) \right\}, \quad (10)$$

$$z_1 = \frac{\delta}{2^{2/3}},$$

$$\delta = -\frac{2}{\xi^{2/3}} \left( \varepsilon + 1/2 - \frac{\xi^2}{2} \right).$$

При

$$z_1^{3/2} = \frac{\sqrt{2}}{\xi} \left( \varepsilon + \frac{1}{2} - \frac{\xi^2}{2} \right)^{3/2} \gg 1$$

справедливы асимптотические разложения для функций Эйри  $\operatorname{Ai}(z_1)$ ,  $\operatorname{Bi}(z_1)$ . В результате

$$J_0 = \sqrt{\pi i} \left\{ -i \left( \delta^{-1/2} + \frac{5}{8} \delta^{-7/2} \right) + \frac{1}{2} \left( \delta^{-1/2} - \frac{5}{12} \delta^{-2} \right) e^{-\frac{2}{3}\delta^{3/2}} \right\}. \quad (11)$$

Заметим, что второе слагаемое в (11) имеет типичную структуру, описывающую процессы распада. Используя соотношения типа (11), выражение для ЭСС, отсчитанной от дна зоны проводимости КЯ в электрическом поле, можно преобразовать к следующему виду:

$$E_F = -E_0 - \frac{\hbar\omega}{2} + \frac{(\hbar\omega)^2}{24E_0} + \frac{m\omega^2}{2}(z_0 - d)^2 \times$$

$$\times \left( 1 - \left( \frac{\hbar\omega}{4E_0} \right)^2 \right) - i \frac{e|Fa_0|}{4} \left| \frac{z_0}{d} - 1 \right| e^{-\frac{4}{3}\delta_0^{3/2}},$$

$$\delta_0^{3/2} = \frac{E_0}{e|Fa_0| \left| \frac{z_0}{d} - 1 \right|} \left( 1 + \frac{1}{5} \left( \frac{\hbar\omega}{eFa_0 \left( \frac{z_0}{d} - 1 \right)} \right)^2 \right). \quad (12)$$

Из (12) следует, что сдвиг уровня ЭСС, как и в стационарном случае (8), равен сумме поправок, возникающих соответственно в размерно-ограниченных системах и в электрическом поле. Мнимая часть энергии определяет ширину квазистационарного состояния. Вероятность  $W$  ионизации связанный частицы имеет вид

$$W = \frac{e|Fa_0|}{4\hbar} \left| \frac{z_0}{d} - 1 \right| \exp \left\{ -\frac{4}{3}\delta_0^{3/2} \right\}. \quad (13)$$

Если примесь расположена в центре КЯ ( $z_0 = 0$ ), то с ростом напряженности электрического поля вероятность ионизации увеличивается (уменьшается ширина барьера туннелирования). Уменьшение толщины КЯ приводит к уменьшению вероятности распада, т.е. оказывает на систему стабилизирующее действие. В случае  $z_0 \neq 0$  величина вероятности ионизации заметным образом зависит от направления напряженности электрического поля. Если с ростом  $F$  минимум потенциальной энергии удаляется от точки расположения примеси  $z = z_0$  ( $|z_0 - d|$  увеличивается), то  $W$  увеличивается. При противоположном направлении напряженности электрического поля происходит стабилизация связанного состояния, при  $z_0 = d$  (минимум потенциальной энергии расположен в точке расположения примеси) распад примесного состояния отсутствует.

## 2. Особенности примесного поглощения света в КЯ в постоянном электрическом поле

Рассмотрим случай  $|E_1| > |\Delta|$ , когда процессы распада примесного состояния в электрическом поле невозможны. Нормированная волновая функция, связанная с функцией Грина (6), имеет вид

$$\psi(\mathbf{r}) = A \int_0^\infty \frac{e^{\epsilon\tau} e^{-\frac{\delta^2\lambda}{2\tau}}}{(1 - e^{-2\tau})^{1/2}} \exp \left\{ \frac{\eta\xi}{\operatorname{sh}\tau} - \frac{(\xi^2 + \eta^2)}{2} \operatorname{cth}\tau \right\} \frac{d\tau}{\tau}, \quad (14)$$

$$A = \sqrt{\frac{2}{N}} \left( \frac{\lambda}{2\pi} \right)^{3/4},$$

$$N = \int_0^\infty e^{(\epsilon + \frac{1}{2})\tau} e^{-\xi^2 \operatorname{th} \frac{\tau}{2}} \frac{d\tau}{\sqrt{\operatorname{sh}\tau}}.$$

Матричный элемент оператора  $x$  с учетом (14) и волновой функции непрерывного спектра (2) вычисляется элементарно

$$\int_0^\infty \psi(\mathbf{r}) x \psi_{nk\perp}^*(\mathbf{r}) d\mathbf{r} = \frac{ik_x}{\lambda} \left( \frac{\pi}{NL_x L_y \lambda} \right)^{1/2} \frac{e^{-\xi^2/2} H_n(\xi) \cdot 2^{3/4}}{\sqrt{2^n n!} \left( n + \frac{1}{2} + \frac{k_x^2}{2\lambda} + \Delta \right)^{1/2}}. \quad (15)$$

Матричный элемент оператора  $y$  имеет вид, аналогичный (15), но с заменой  $k_x$  на  $k_y$ . Для циркулярно-поляризованного света частоты  $\Omega$ , распространяющегося перпендикулярно поверхности КЯ, выражение для коэффициента поглощения света с учетом (15) имеет вид

$$K(\Omega) = K_0 \sum_n \frac{H_n^2(\xi)}{2^n n!} e^{-\xi^2} \left( \frac{\epsilon_n}{\hbar\Omega} \right) \theta(\epsilon_n),$$

$$\theta(\epsilon_n) = \begin{cases} 1, & \epsilon_n \geq 0, \\ 0, & \epsilon_n < 0, \end{cases}$$

$$\varepsilon_n = E_F - \hbar\omega n + \hbar\Omega,$$

$$K_0 = \frac{4\pi^2 \cdot \sqrt{2}e^2 N_0 \omega}{VmcN\sqrt{\varepsilon_0}\Omega^2}, \quad (16)$$

$N_0/V$  — концентрация примесей;  $E_F$  — энергия связанных состояний, отсчитанная от дна зоны проводимости КЯ в электрическом поле.

Коэффициент поглощения света, связанный с переходом электрона из связанного состояния на нижний уровень пространственного квантования ( $n = 0$ ), определяется соотношением

$$K^{(0)}(\Omega) = K e^{-\xi^2} \frac{x_0}{\left(x_0 - \frac{E_F}{E_0}\right)^3}, \quad (17)$$

$$x_0 = \frac{1}{E_0}(E_F + \hbar\Omega),$$

$$K = \frac{4\pi^2 \sqrt{2}e^2 N_0 \hbar^2 \omega}{VmcN\sqrt{\varepsilon_0}E_0^2}.$$

Частотная зависимость коэффициента поглощения света описывается асимметричной кривой, и при  $x_0 \gg 1$  имеем, что  $K^{(0)}(\Omega) \sim (\hbar\Omega)^{-2}$ . Максимум примесного поглощения получается при  $\hbar\Omega = \left(\frac{3}{2}\right)|E_F|$ , т.е. повторяет особенности поведения  $E_F/E_0$  от  $B$  (рис. 2), положения примеси (вставка на рис. 2), направления и величины напряженности постоянного электрического поля (рис. 4).

Как следует из (17), если напряженность электрического поля направлена таким образом, что с ростом  $F$  минимум потенциальной ямы приближается к точке расположения примеси ( $z_0$ ), то коэффициент поглощения света увеличивается, а при противоположном направлении  $F$  — уменьшается.

Коэффициент поглощения света, определяемый переходом электрона из связанного состояния на второй ( $n = 1$ ) уровень пространственного квантования согласно (15), имеет вид

$$K^{(1)}(\Omega) = K \frac{2\xi^2 x_1}{(x_1 - E_F/E_0)^3} e^{-\xi^2}, \quad (18)$$

$$x_1 = \frac{1}{E_0}(E_F - \hbar\omega + \hbar\Omega).$$

Максимум коэффициента поглощения  $K^{(1)}(\Omega)$  смещен относительно максимума коэффициента поглощения  $K^{(0)}(\Omega)$  в высокочастотную область на величину  $\hbar\omega$ . Если  $\xi^2 = \lambda(z_0 - d)^2$  увеличивается с ростом  $F$  (минимум потенциальной энергии КЯ удаляется от точки расположения примеси  $z_0$ ), то  $K^{(1)}(\Omega)$  при этом уменьшается. Если же  $\xi^2$  уменьшается с ростом  $F$  (минимум потенциальной энергии приближается к точке  $z_0$ ), то  $K^{(1)}(\Omega)$  в этом случае увеличивается и, когда  $\xi \sim 1$ , достигает максимума. При дальнейшем возрастании  $F$   $K^{(1)}(\Omega)$  убывает, обращаясь в нуль при  $F = z_0 m\omega^2/e$  (минимум потенциальной энергии в точке  $z_0$ ), т.е. оптические переходы в этом случае запрещены.

## Список литературы

- [1] Bastard G. // Phys. Rev. B. 1981. V. 24. N 6. P. 4714–4718.
- [2] Chandhuri S., Bajaj K.K. // Phys. Rev. B. 1984. V. 29. N 3. P. 1803–1807.
- [3] Oliveira L.E., Falicov L.M. // Phys. Rev. B. 1986. V. 34. N 12. P. 8676–8683.
- [4] Fraizoli S., Bassani F. // Phys. Rev. B. 1990. V. 41. N 8. P. 5096–5103.
- [5] Tao Pang, Louie S.G. // Phys. Rev. Lett. 1990. V. 65. N 13. P. 1635–1638.
- [6] Yoo B.S., He L., McCombe B.D., Schaff W. // Superlattices and Microstructures. 1990. V. 8. N 3. P. 297–300.
- [7] Brum J.A., Priester C., Allan G. // Phys. Rev. B. 1985. V. 32. N 4. P. 2378–2381.
- [8] Gerald Weber // Phys. Rev. B. 1990. V. 41. N 14. P. 10043–10048.
- [9] Mitzuru Matsura, Tsuneo Kamizato // Phys. Rev. B. 1986. V. 33. N 12. P. 8385–8389.
- [10] Ahn D., Chuang S.L. // Appl. Phys. Lett. 1986. V. 49. N 21. P. 1450–1452.
- [11] Hao Chen, Xiangdong Li, Shixum Z-hou // Phys. Rev. B. 1991. V. 44. N 12. P. 6220–6223.
- [12] Chuang S.L., Ahn D. // J. Appl. Phys. 1989. V. 65. N 7. P. 2822–2826.
- [13] Takiya Ishikawa, Shinji Nishimura, Kunio Tada // Jap. J. Appl. Phys. 1990. V. 29. N 8. P. 1466–1473.
- [14] Ahn D., Chuang S.L. // Phys. Rev. B. 1986. V. 35. N 8. P. 4149–4151.
- [15] Miller R.C., Gossard A.C. // Appl. Phys. Lett. 1983. V. 43. N 10. P. 954–956.
- [16] Бадами С.М., Левинсон И.Б. // ЖЭТФ. 1988. Т. 94. № 3. С. 371–378.
- [17] Коровин Л.И., Павлов С.Т., Эшпулатов Б.Э. // ЖЭТФ. 1991. Т. 99. № 5. С. 1619–1631.
- [18] Gashimzade F.M., Tahirov E.V. // Phys. Stat. Sol. (b). 1990. V. 160. P. K177–K181.
- [19] Gossard A.C. // Inst. Phys. Conf. Ser. N 69 // Ed. E.H.Roderick. Bristol: Institute of Physics, 1983. P. 1.
- [20] Hui Tang, Butcher P.N. // J. Phys. C: Sol. Stat. Phys. 1988. V. 2. P. 3313–3322.
- [21] Burnett J.H., Cheong H.M., Paul W., Hopkins P.F., Gwinn E.G., Riimberg A.J., Westervelt R.M., Sundaram M., Gossard A.C. // Phys. Rev. B. 1991. V. 43. N 14. P. 12033–12035.
- [22] Miller R.C., Gossard A.C., Kleinmann D.A., Munteanu O. // Phys. Rev. B. 1984. V. 29. N 5. P. 3740–3743.
- [23] Демков Ю.Н., Островский В.Н. Метод потенциалов нулевого радиуса в атомной физике. Л., 1975. 240 с.
- [24] Демков Ю.Н., Островский В.Н. // ЖЭТФ. 1965. Т. 49. № 2. С. 257–265.
- [25] Najda S.P., Armistead S.J., Trager C., Stradling R.A. // Semicond Sc. Technol. 1989. V. 4. P. 439–445.
- [26] Чаплик А.В. // ЖЭТФ. 1970. Т. 59. № 6(12). С. 2110–2115.
- [27] Синявский Э.П., Канаровский Е.Ю. // ФТТ. 1992. Т. 34. № 3. С. 41–46.
- [28] Друкарев Г.Ф., Монозон Б.С. // ЖЭТФ. 1971. Т. 61. № 3(9). С. 956–967.

Институт прикладной физики АН Молдавии  
Кишинев

Поступило в Редакцию  
3 августа 1992 г.  
В окончательной редакции  
28 января 1993 г.